



IRANIAN SOCIETY of  
CRYSTALLOGRAPHY  
and MINERALOGY

No. 1, 1386/2007 Spring & Summer



## Micro-texture and mineralogy of Fe-Ti oxides from Qareaghaj mafic-ultramafic intrusion, NW Urmia

M. Mirmohammadi, A. Kananian

School of Geology, University College of Science, Tehran University  
Email: [m\\_mirsaleh@yahoo.com](mailto:m_mirsaleh@yahoo.com)

(Received: 4/11/2006, received in revised form: 12/2/2007)

**Abstract:** Detailed studies on micro-texture and microprobe analysis of Fe-Ti oxides from Qareaghaj mafic-ultramafic intrusion (QMUI) is the basis of this investigation. The QMUI is mainly composed of non-mineralized mafic and Fe-Ti-P-rich ultramafic rocks (FTP). The FTP with high proportion of ilmenite (~11-19 modal %) and magnetite (~2-13 modal %) show an unusual bulk composition. Fe-Ti oxides are divided into three distinct generations on the basis of their micro-texture: 1) small-sized rounded to ellipsoid-shape inclusion in olivine and clinopyroxene, 2) coarse interstitial grains and 3) late stage veinlets. The ilmenite grains (0.1-2mm) commonly contain fine hematite lenses arranged in [0001] planes. Primary Ti-magnetites contain ilmenite lamellae along the [111] planes and exhibit wide variety of exsolution textures (e.g., trellis- and sandwich-types). Ilmenite in FTP show  $X_{ilm}$  range from 0.82-0.91 and has high MgO (0.82-2.38 wt %). Most Ti-magnetites (bulk composition) have low  $X_{usp}$  (0.03-0.13) and therefore high  $X_{mag}$  (0.79-0.93). Two oxide geothermobarometer in the ILMAT program, resulted in re-equilibration temperature range of 450-700°C and  $fO_2$  (nearly -19±3) during subsolidus cooling for FTP rocks.

**Keywords:** *Qareaghaj, Ilmenite, Magnetite, FTP rocks.*





## ریز بافت و کانی‌شناسی اکسیدهای Fe-Ti در توده نفوذی مافیک- اولترامافیک قره آگاج، شمال باختری ارومیه

میر صالح میر محمدی، علی کنعانیان

دانشگاه تهران، پردیس علوم، دانشکده زمین‌شناسی

پست‌الکترونیکی: [m\\_mirsaleh@yahoo.com](mailto:m_mirsaleh@yahoo.com)

(دریافت مقاله ۱۳۸۵/۸/۱۳، دریافت نسخه نهایی ۱۱/۲۲)

**چکیده:** مطالعه دقیق ریزبافت و آنالیز ریزکاو اکسیدهای Fe-Ti از توده نفوذی مافیک-اولترامافیک قره آگاج، اساس این پژوهش را تشکیل می‌دهد. این توده از لحاظ سنگ‌شناسی از دو بخش اصلی شامل سنگهای مافیک بدون کانی‌سازی و سنگهای اولترامافیک غنی از (FTP) تشکیل یافته است. سنگهای FTP حاوی مقادیر بالایی از ایلمنیت (~19 modal) Fe-Ti-P و مگنتیت (~11 modal) هستند و ترکیب شیمیابی غیر عادی نشان می‌دهند. بر اساس شواهد ریزبافتی، اکسیدهای Fe-Ti در سه نسل یافت می‌شوند: ۱) میانبارهای گردد تا بیضی ریز در اولیوین و کلینوپیروکسن، ۲) درشت دانه‌های روزنه‌ای و ۳) رگچه‌های مرحله پسین. بلورهای ایلمنیت (0.1-2 mm) به طور معمول دارای عدسی‌های ریز هماتیت آرایش یافته در صفحات [۱۰۰۰۱] می‌باشند. تیتانو مگنتیتهای اولیه اغلب حاوی تیغه‌های ایلمنیت موازی با صفحات [۱۱۱] بوده و طیفی از ریزبافت‌های برون رستی مثل نوع ترلیس و ساندویچی را نشان می‌دهند. در ایلمنیتهای سنگهای FTP،  $X_{ilm}$  از ۰.۹۱ تا ۰.۸۲ تغییر می‌کند و مقدار  $MgO$  قابل توجه است (۰.۸۲-۰.۲۳۸ wt%). بیشتر بلورهای تیتانو مگنتیت (ترکیب کلی) دارای  $X_{usp}$  پایین (۰.۱۲-۰.۳۰) بوده و از این‌رو  $X_{mag}$  بالای (۰.۹۳-۰.۷۹) دارند. با استفاده از زمین دما-فشارسنج دو اکسیدی (ایلمنیت-مگنتیت) و به کارگیری نرم افزار ILMAT، معلوم شد که اکسیدهای Fe-Ti در گستره دمایی ۴۵۰-۷۰۰°C و  $fO_2$  نزدیک به  $19 \pm 3$ ، به احتمال در طول سردشدن به زیر نقطه ذوب، به تعادل دوباره رسیده‌اند.

**واژه‌های کلیدی:** قره آگاج، ایلمنیت، مگنتیت، سنگ‌های FTP

**مقدمه**

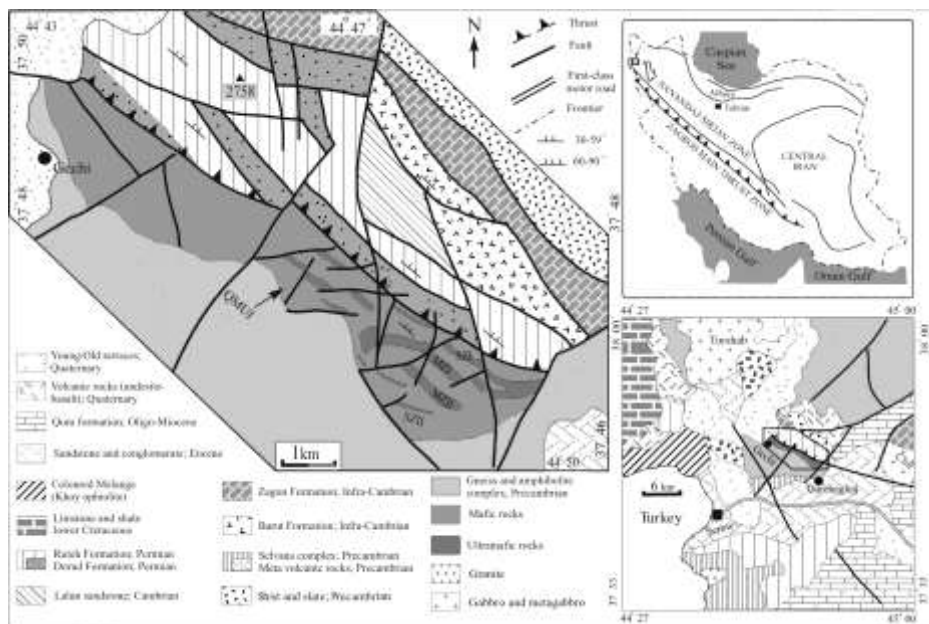
توده نفوذی قره آگاج بین طولهای جغرافیایی شرقی  $44^{\circ}43'$  تا  $44^{\circ}50'$  و عرضهای جغرافیایی شمالی  $37^{\circ}46'$  تا  $37^{\circ}50'$  و در فاصله ۳۶ کیلومتری شمال باختری شهرستان ارومیه قرار دارد (شکل ۱). این توده به طور مشخص از دو واحد سنگی مافیک و اولترامافیک تشکیل یافته است. سنگهای اولترامافیک توده قره آگاج به عنوان کانسار تیتانیم-فسفات برای اولین بار در سال ۱۳۷۲ شناسایی و معرفی شدند [۲]. این کانسار طی سالهای ۱۳۷۴ تا ۱۳۷۸ تحت بررسی‌های اکتشافی و فرآوری مقدماتی (مقیاس آزمایشگاهی) قرار گرفته [۳-۵] و با توجه به ویژگی‌های خاص سنگ شناختی و کانی‌زایی در قالب رساله‌های کارشناسی ارشد مطالعه و مقالاتی نیز ارائه شده است [۶-۸].

درازای توده قره آگاج ۱۰-۸ کیلومتر و پهنای آن ۱-۱/۷ کیلومتر است و بین نهشته‌های پرمین و اینفراکامبرین در شمال و مجموعه دگرگونی وابسته به پرکامبرین در جنوب و خاور منطقه جای گرفته است (شکل ۱). روند عمومی این توده NW-SE است و شیب ساختارهای درونی آن مانند برگوارگی، و  $50\text{--}65$  درجه به سمت N-NE تمایل دارد. همبری توده با سنگ‌های پرمین به طور مشخص از نوع رورانده بوده و در میان آنها زون میلونیتی-اولترا میلونیتی برونزده است. همبری توده قره آگاج با مجموعه منسوب به پرکامبرین نیز اغلب به صورت گسل بوده و در مواردی نیز به صورت پوشیده است. سنگهای اولترا مافیک در توده قره آگاج را بخش مافیک به طور کامل در بر گرفته‌اند و با سنگهای رسوی و دگرگون همبری ندارند. ترکیب غالب بخش مافیک، گابرویی است و به صورت موضعی در نتیجه دگرشکلی و دگرگونی به متاگابرو و اورتوامفیبولیت تبدیل شده است.

سنگ‌های اولترامافیک در توده قره آگاج شامل تعداد زیادی لایه و توده‌های سیل مانند (با همبری تیز و موازی با میزبان گابرویی) به ستیرای متغیر از ۵ سانتیمتر تا چندین متر بوده و به دلیل غنی‌شدگی غیرعادی از فسفر (آپاتیت)، آهن و تیتانیم (ایلمنیت و مگنتیت) به اختصار سنگ‌های FTP خوانده می‌شوند. این سنگها علیرغم حجم و گسترش کم، به دلیل میزبانی کانسارهای فسفات، آهن، و تیتانیم، در مقایسه با سنگهای آذرین متعارف ترکیب شیمیایی و کانی‌شناسی غیر معمول دارند [۹] و به این دلیل از اهمیت و جذابیت علمی و اقتصادی قابل توجهی برخوردارند. در مورد خاستگاه سنگهای FTP و سازوکارهای تمرکز اکسیدهای آهن و

تیتانیم ( $\pm$  آپاتیت) در آنها، فرضیه‌های مختلفی از جمله ناآمیختگی آبگونی<sup>۱</sup>، محصول تفریق تأخیری آنورتوزیت‌ها، انباسته‌های بلوری، بلوری شدن دوباره در شرایط قرار گرفتن در زیر نقطه ذوب<sup>۲</sup>، و جداسدگیهای مرحله تأخیری توده‌های مافیک-اولترامافیک لایه‌ای، ارائه شده است [۱۴-۱۰]، با این حال درباره سنگ‌زایی و ارتباط بین انواع سنگ‌های FTP اتفاق نظر وجود ندارد [۱۵].

سنگ‌های FTP توده آج تنها بروند این سنگ‌ها در ایران است، و افزون بر ۲۰۰ میلیون تن کانسنسگ تیتانیم با عیار متوسط  $8/25\text{ TiO}_2$  در این کانسنان برآورد شده است [۳۷ و ۳۶]. با توجه به ویژگیهای صحرایی، ترکیب کانی شناسی و شیمیابی، سنگ‌های اولترامافیک قره آج از تفاوت‌های ویژه‌ای با انواع FTP شناخته شده در جهان دارند، به گونه‌ای که شاید بتوان آنها را در نوع خود منحصر به فرد و تیپ جدید دانست.



شکل ۱ نقشه زمین‌شناسی ساده شده از توده قره آج با تغییرات کلی، اقتباس از [۱].

روش بررسی

- 1 - Liquid immiscibility  
2 - Subsolidus

نمونه برداری به صورت سیستماتیک از رخمنونها، ترانشه‌ها و مغزه‌های حفاری اکتشافی انجام شد و تعداد ۱۰۰ نمونه (تیغه‌های نازک- صیقلی) با میکروسکوپ بازتابی- قطبشی تحت بررسی‌های سنگنگاری و آنالیز مдал قرار گرفت. آنالیزهای ریزکاو با استفاده از دستگاه CAMECA SX-100 در موسسه کانی‌شناسی و سنگ‌شناسی دانشگاه هامبورگ آلمان صورت گرفت و برای همسنجی دستگاه نیز از استانداردهای مصنوعی و طبیعی استفاده شد. برای آنالیز اکسیدهای Fe-Ti باریکه جریان<sup>۳</sup> برابر ۲۰ nA، ولتاژ شتابدهنده<sup>۴</sup> در حدود ۱۵-۲۰ kV و قطر باریکه در حدود ۲-۳  $\mu\text{m}$  بوده است. علاوه بر آنالیز نقطه‌ای، میانگین ترکیب کلی<sup>۵</sup> فازهای تیتانومگنتیت و نیز ایلمنیت حاوی هماتیت آزاد با پرتو کانونی نشده به قطر  $\mu\text{m}$  ۴۰ اندازه‌گیری شد.

#### ویژگیهای سنگ نگاری و ریزبافت

سنگهای بلوری اولترامافیک اغلب در اندازه ریز تا متوسط دیده می‌شوند و بافت اورتوکومولایی دارند به طوریکه شبکه‌ای از کانیهای اولیوین (۴۱-۶۶ modal%) با اکسیدهای Fe-Ti (در مجموع حدود ۱۳-۳۲ modal%) و آپاتیت (۰-۱۶ modal%) در لابلای آن شکل گرفته است (شکل ۲ الف). با توجه به بررسیهای سنگنگاری، دونیت و ورلیت غنی از اکسیدهای Fe-Ti و آپاتیت حداقل ۹۰ درصد بخش اولترامافیک توده قره آگاج را تشکیل می‌دهند، هرچند که دونیت فقیر از آپاتیت و همچنین کلینوپیروکسنیت نیز به مقدار کمتر یافت می‌شوند.

اکسیدهای Fe-Ti غالباً در سنگ‌های FTP، شامل ایلمنیت (۱۱-۱۹ modal%) و مگنتیت (۲-۱۳ modal%) و در سه نسل یافت می‌شوند (شکل ۲ و ۳): ۱- میانبارهای<sup>۶</sup> گرد تا بیضی ریز در اولیوین و کلینوپیروکسن، ۲- به صورت قطعات درشت بین بلوری و ۳- پسا رگچه‌ها (با ستبرای در حدود ۳ cm و اغلب حاوی مگنتیت  $\pm$  پیروتیت). نسل اخیر در صورت وجود، تمام سیلیکات‌ها و اکسیدهای Fe-Ti نسل اول و دوم را قطع می‌کند (شکل ۳ الف). فاز اکسیدی غالباً در همه نمونه‌ها ایلمنیت بوده و نسبت مگنتیت/ایلمنیت معمولاً ۲-۴ (در محدوده ۸-۱۵%) است. بیشتر ایلمنیتهای اولیه (در ابعاد ۰.۱-۲ mm) حاوی عدسی‌های ریز هماتیت هستند (شکل ۳ ب و د) که به موازات [۱۰۰۰] آرایش یافته‌اند. بلورهای مگنتیت اولیه (تیتانومگنتیت) نیز اغلب دارای تیغه‌های برون‌رست<sup>۷</sup> ایلمنیت (با توزیع تقریباً همگون) به

3- Beam Current

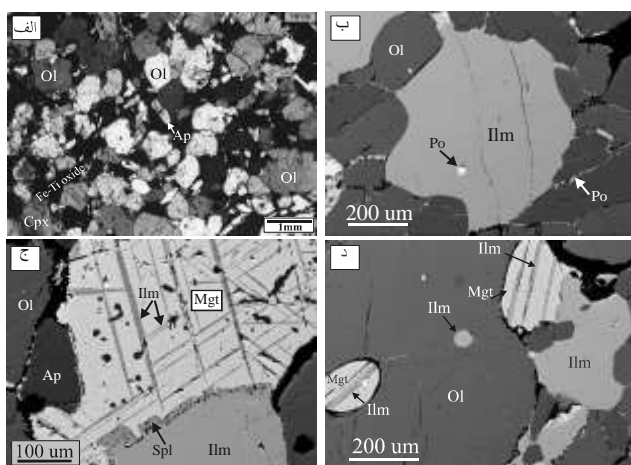
4- Acceleration voltage

5 - Bulk Composition

6 - Inclusion

7 - Exsolution

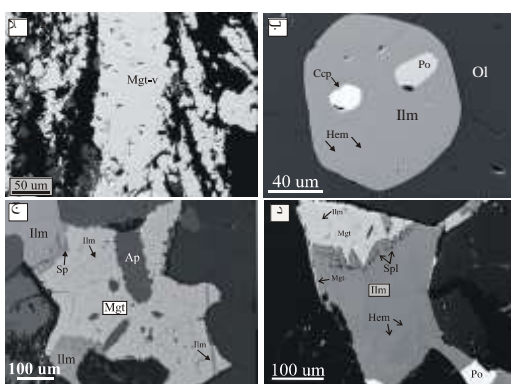
موازات [۱۱۱] بوده و طیفی از ریزبافتها را نشان می‌دهند (شکل ۲ ج و د، ۳ج). در بیشتر نمونه‌ها نوع داربستی<sup>۸</sup> (نوع ریز تا درشت) فراوان بوده (شکل ۲ج) ولی انواع ساندویچی (شکل ۲د) و مرکب نیز دیده می‌شوند [برگرفته از اصطلاحات ۱۷ و ۱۶]. بر اساس شواهد سنگ نگاری اغلب ریزبافت‌های مرکب به احتمال زیاد اجتماع اکسیدهای Fe-Ti دوتایی اولیه هستند. برپایه مراحل بافتی C5 تا C1 ناشی از برونشتی در شرایط زیر نقطه ذوب با افزایش درجه اکسایش [۱۷]، بلورهای تیتانومگنتیت در سنگهای FTP قره آگاج مراحل C2 تا C3 را بدون آزاد شدن الیت<sup>۹</sup> نمایش می‌دهند. بلورهای تیتانومگنتیت، علاوه بر تیغه‌های ایلمنیت دارای اسپینل آزاد در داخل و نیز حاشیه غنی از اسپینل در همبrij با ایلمنیت هستند (شکل ۳ج و د). وجود اسپینل در تیغه‌های ایلمنیت داخل تیتانومگنتیت، نشانگر این است که بخش اعظم اسپینل‌ها همزمان با تیغه‌های ایلمنیت تشکیل شده‌اند. بلورهای تیتانومگنتیت اغلب به صورت قطعات کوچکتر در حاشیه بلورهای درشت‌تر دیده می‌شوند و بلوری شدن آنها نسبت به ایلمنیت دیرتر صورت گرفته است.



شکل ۲ تصاویر میکروسکوپیکی نمونه‌های FTP توده قره آگاج و ریزبافت‌های آن؛ (الف) در نور عبوری، وضعیت CPL، (ب تا د) تصاویر BSE، اولیوین (Ol)، آپاتیت (Ap)، کلینوپیروکسن (Cpx)، ایلمنیت (Mgt)، مگنتیت (Ilm)، اسپینل (Spl)، پیروتیت (Po).

۸ - Trellis

۹ - Ulvite



شکل ۳ تصاویر BSE از نمونه‌های FTP توده قره آگاج و ریزبافت‌های آن. هماتیت (Hem)، مگنتیت رگچه‌ای (Mgt-V) و مشابه آنها در شکل ۲.

علاوه بر اکسیدهای Fe-Ti، کانی‌های سولفیدی (در مجموع به مقدار  $\sim 3\text{ modal}\%$ ) از نوع پیروتیت (کانه غالب)، و به مقدار کمتر کالکوپیریت و پنتلاندیت نیز در بیشتر نمونه‌های FTP در سه نسل میانبار، بین بلوری و پسا رگچه‌ای وجود دارند (شکل ۲، ب و د). برخلاف سنگهای اولترامافیک، ایلمنیت در سنگهای مافیک قره آگاج (ترکیب غالب گابرویی) تنها اکسید Fe-Ti بوده ( $\sim 0.5-0.7\text{ modal}\%$ ) و جالب اینکه مگنتیت، اولیوین و آپاتیت حتی در مقادیر جزئی در آنها یافت نمی‌شود.

#### کانی‌شناسی

ایلمنیت در سنگهای مافیک (جدول ۱) نزدیک به ترکیب خالص و عضو پایانی ( $\sim 0.98-0.90$ ) بوده، و دارای  $\text{MgO}$  پایین ( $\sim 0.2\text{ wt\%}$ ) و لی  $\text{MnO}$  بالا ( $\sim 1.6-1.9\text{ wt\%}$ ) است. ایلمنیت در سنگهای اولترامافیک با توجه به مقادیر قابل توجه هماتیت برون‌رسنی، دارای  $\text{Xilm} \sim 0.91-0.90$  و  $\text{Xhem} \sim 0.18-0.10$  متفاوت بوده و در واقع آن را می‌توان هموایلمنیت نامید (جدول ۱). ایلمنیت در این سنگها آشکارا در مقایسه با انواع موجود در سنگهای مافیک از  $\text{MgO}$  غنی تر ( $\sim 0.38-0.49\text{ wt\%}$ ) و از  $\text{MnO}$  فقیرتر ( $\sim 0.93-0.58\text{ wt\%}$ ) است. تیغه‌های ایلمنیت آزاد در تیتانومگنتیت تقریباً دارای ترکیب نزدیک به ایلمنیت خالص بوده و ذرات و عدسی‌های هماتیت در ایلمنیت دارای  $\text{TiO}_2$  بالایی است و  $\text{Xilm}$  در آنها بین  $0.30-0.26$  تغییر می‌کند (تیتانوهماتیت).

بلورهای مگنتیت اولیه در سنگهای اولترامافیک، غالباً برون‌رسنی و در هم رشدی ایلمنیت و اسپینل دارند و به درستی می‌توان آنها را چنانکه اشاره شد تیتانومگنتیت نامید. به همین دلیل ترکیب کلی آنها در بلورهای حاوی برون‌رسنی ریز و تا حدی همگن با پرتو کانونی نشده ( $\mu\text{m}$ ) ( $\sim 0.13-0.30$ ) اندازه‌گیری شده است. بیشتر تیتانومگنتیت‌ها (نسل اول و دوم) دارای  $\text{Xusp}$  پایین ( $\sim 0.93-0.97$ ) هستند، و بنابراین  $\text{Xmag}$  بالایی ( $\sim 0.13-0.20$ ) دارند (جدول ۲). مقادیر

MnO و MgO در این کانیها به ترتیب برابر است با  $\text{wt\%} = 0.08$  و  $\text{wt\%} = 0.58$ . ترکیب مگنتیت موجود در پسا رگچه‌ها (نسل سوم) نزدیک به مگنتیت خالص ( $X_{\text{mag}} \sim 0.998$ ) است. به هر حال تغییرات سیستماتیک در ترکیب بلورهای تیتانومگنتیت با توجه به موقعیت نمونه‌ها در ستون چینه‌شناسی بخش اولترامافیک، مشاهده نمی‌شود. مقدار  $\text{Cr}_2\text{O}_3$  در تیتانومگنتیت اغلب ناچیز ( $\text{wt\%} < 0.22$ )، ولی مقدار  $\text{V}_2\text{O}_5$  در آنها قابل توجه است ( $\text{wt\%} > 0.9$ ). از طرف دیگر مقدار  $\text{Al}_2\text{O}_3$  در آنها بالا ولی متغیر ( $3.53 \text{ wt\%} < 1.21$ ) است که دلیل اصلی آن توزیع نامتجانس برونشتت اسپینل است. تمام بلورهای اسپینل (میان بلوری و برون-rst) در نمونه‌های مورد مطالعه از نوع هرسینیتی است و در ترکیب آنها  $\text{Al}_2\text{O}_3 = 57.60$ ،  $\text{Cr}_2\text{O}_3 \leq 0.26$  و  $\text{TiO}_2 = 0.15$ ،  $\text{FeO} = 28.6 - 32.3$ ،  $\text{MgO} = 7.11 - 11.3$  بر حسب درصد وزنی اندازه‌گیری شده است.

با توجه به بررسی‌های صورت گرفته [۱۸]، در سنگهای FTP قره آج همخوانی خوبی بین مقدار MgO (یا  $\text{Mg} \neq \text{Mg}$ ) اولوین، اکسیدهای Fe-Ti و اسپینل هرسینیتی وجود دارد و از طرف دیگر اسپینل موجود در سنگهای فقیر از آپاتیت، عدد منیزیم بالایی ( $\text{Mg} \sim 43 - 46$ ) در مقایسه با انواع غنی از آپاتیت ( $\text{Mg} \neq 30 - 44$ ) نشان می‌دهند (شکل ۴الف).

**جدول ۱** نتایج آنالیز ریزکاو معرف برای ایلمنیت (ilm) و هماتیت برونشتت (hem-ex) در سنگ‌های مختلف توده قره‌آج.

Rock	mgb	cgb	ox-ub	ap-ox-ub					
	BH14	TM18	TM62	TM65	TM134	TM61	TM27	TM147	TM138
Mineral	ilm	ilm	ilm	ilm	ilm	ilm	ilm	ilm	hem-ex
SiO <sub>2</sub>	0.03	0.00	0.00	0.07	0.02	0.03	0.02	0.05	0.03
TiO <sub>2</sub>	0.317	99.52	49.81	51.01	50.11	51.18	50.24	50.21	16.99
Al <sub>2</sub> O <sub>3</sub>	0.3	0.4	0.1	1.28	0.2	0.2	0.3	0.3	2.07
FeO	45.71	45.18	48.07	45.14	46.94	46.21	48.23	47.58	77.2
MnO	1.3	0.92	0.58	0.74	0.97	0.86	0.92	0.88	0.27
MgO	0.17	0.19	2.28	1.39	1.00	1.09	0.82	0.89	1.49
CaO	0.9	0.00	0.01	0.00	0.03	0.10	0.00	0.00	0.03
Total	100.22	99.32	100.86	99.63	99.05	99.09	100.47	99.63	98.69
Cation									
Si	0.001	0.000	0.000	0.002	0.000	0.001	0.001	0.001	0.001
Ti	1.004	1.008	0.917	0.954	0.950	0.966	0.922	0.948	0.309
Al	0.001	0.001	0.000	0.037	0.001	0.000	0.001	0.001	0.059
Fe <sup>3+</sup>	0.000	0.000	0.166	0.050	0.098	0.057	0.113	0.102	1.223
Fe <sup>2+</sup>	0.960	0.956	0.818	0.889	0.893	0.904	0.893	0.897	0.749
Mn	0.22	0.20	0.12	0.12	0.20	0.18	0.19	0.19	0.06
Mg	0.06	0.07	0.87	0.52	0.38	0.41	0.30	0.33	0.54
Ca	0.002	0.000	0.000	0.000	0.001	0.003	0.000	0.000	0.001
$\Sigma \text{Catio}$	1.995	1.992	2.000	2.000	2.000	1.998	2.000	2.000	2.000
No of	3	3	3	3	3	3	3	3	3
X <sub>ilm</sub>	0.972	0.973	0.818	0.908	0.894	0.917	0.887	0.897	0.779
X <sub>hem</sub>	0.000	0.000	0.83	0.25	0.49	0.24	0.56	0.51	0.661
X <sub>GK</sub>	0.006	0.007	0.87	0.52	0.38	0.41	0.30	0.33	0.54
X <sub>py</sub>	0.022	0.020	0.12	0.12	0.20	0.18	0.19	0.19	0.06

ریزگابرو (mgb)، گابروی درشت دانه (cgb)، اولترامافیک غنی از اکسید و آپاتیت (ap-ox-ub)، اولترامافیک فقیر Xilm = 1-(Xhem+XGK+Xpy)، Xpy = XMn، XGK = NMg، Xhem = 0.5×Fe<sup>3+</sup> : (ox-ub) از آپاتیت (ap-ox-ub)

**جدول ۲** نتایج آنالیز ریزکاو معرف برای تیتانو مگنتیت (mag) و مگنتیت رگچه‌ای (V-mag-TiO<sub>2</sub>) در سنگهای FTP توده قره‌آغاج.

Rock type	ox-ub	ap-ox-ub					ox-ub	
		TM62	TM65	TM134	TM61	TM27	TM147	TM13
Sample no.		mag	mag	mag	mag	mag	mag	mag-v
Mineral								
SiO <sub>2</sub>	.۰۳	.۰۵	.۰۵	.۰۳	.۱۸	.۰۸		
TiO <sub>2</sub>	.۲۹۸	.۴۶۱	.۱۵۰	.۳۱۹	.۱۳۷	.۰۹۹	.۰۰۵۲	
Al <sub>2</sub> O <sub>3</sub>	.۲۷۵	.۲۲۳	.۲۴۲	.۳۵۳	.۳۳۹	.۱۲۱	.۰۰۱۷	
Cr <sub>2</sub> O <sub>3</sub>	.۰۲۲	.۰۰۷	.۰۰۹	.۰۰۰	.۰۱۲	.۰۱۱	.	
FeO	.۸۴۲۳	.۸۴۱۶	.۸۷۸۷	.۸۴۸۱	.۸۵۴۴	.۱۹۷۷	.۹۲۳۳۴	
MnO	.۰۰۴	.۰۰۸	.۰۰۵	.۰۰۸	.۰۰۴	.۰۰۵	.۰۰۲۲	
MgO	.۰۸۳	.۰۵۸	.۰۶۵	.۰۷۷	.۱۳۸	.۰۶۰	.۰۰۹	
ZnO	.۰۰۷	.۰۱۲۱	.۰۰۳	.۰۱۲	.۰۰۷	.۰۰۹		
V <sub>2</sub> O <sub>5</sub>	.۱۸۹۹	.۱۰۷۴	.۰۹۵	.۰۹۳۱	.۱۸۹۹	.۰۹۴۳		
Total	.۹۴۰۴	.۹۲۹۶	.۹۳۶۱	.۹۲۴۶	.۹۳۸۹	.۹۳۸۲	.۹۲۵۱۵	
Cations								
Si	.۰۰۰۱	.۰۰۰۲	.۰۰۰۲	.۰۰۰۱	.۰۰۰۷	.۰۰۰۳	.۰۰۰۰۰	
Ti	.۰۱۱۳	.۰۱۳۲	.۰۰۴۳	.۰۰۹۰	.۰۰۳۹	.۰۰۲۸	.۰۰۰۲	
Al	.۰۱۲۲	.۰۱۰۰	.۰۱۰۸	.۰۱۵۷	.۰۱۴۹	.۰۰۵۴	.۰۰۰۱	
Cr	.۰۰۰۷	.۰۰۰۲	.۰۰۰۳	.۰۰۰۰	.۰۰۰۴	.۰۰۰۲	.۰۰۰۰۰	
Fe <sup>3+</sup>	.۱۵۸۶	.۱۵۹۶	.۱۷۷۲	.۱۶۳۲	.۱۷۰۰	.۱۸۵۲	.۱۹۹۶	
Fe <sup>2+</sup>	.۱۰۶۴	.۱۰۹۵	.۱۰۰۵	.۱۰۴۲	.۰۹۶۵	.۰۹۹۳	.۰۹۹۶	
Mn	.۰۰۰۱	.۰۰۰۲	.۰۰۰۱	.۰۰۰۲	.۰۰۰۱	.۰۰۰۱	.۰۰۰۱	
Mg	.۰۰۴۶	.۰۰۳۳	.۰۰۳۷	.۰۰۴۴	.۰۰۷۷	.۰۰۳۴	.۰۰۰۵	
Zn	.۰۰۰۲	.۰۰۰۳	.۰۰۰۱	.۰۰۰۳	.۰۰۰۲	.۰۰۰۲		
V	.۰۰۵۷	.۰۰۳۳	.۰۰۲۹	.۰۰۲۸	.۰۰۵۷	.۰۰۲۹		
ΣCations	.۳۰۰۰	.۳۰۰۰	.۳۰۰۰	.۳۰۰۰	.۳۰۰۰	.۳۰۰۰	.۳۰۰۰	
No of O	۴	۴	۴	۴	۴	۴	۴	
X <sub>mag</sub>	.۰۷۹۳	.۰۷۹۸	.۰۸۸۶	.۰۸۱۶	.۰۸۵۰	.۰۹۲۶	.۰۹۹۸	
X <sub>usp</sub>	.۰۱۱۳	.۰۱۳۲	.۰۰۴۳	.۰۰۹۰	.۰۰۳۹	.۰۰۲۸	.۰۰۰۲	

X<sub>mag</sub> = 0.5 × Fe<sup>3+</sup>, X<sub>usp</sub> = NTi و مشابه آنها جدول ۱.

### بحث

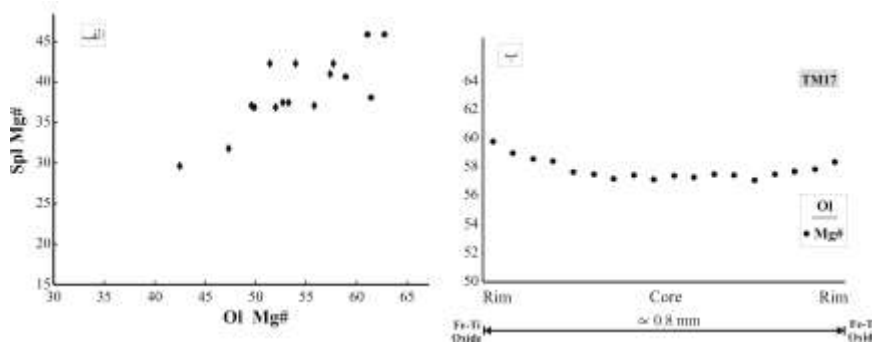
با استفاده از دماسنجد زوج کانی ایلمنیت-کلینوپیروکسن [۱۹] گستره دمای بلوری شدن سنگهای اولترامافیک قره‌آغاج از ۸۰۰ °C تا ۱۰۲۸ °C و بر اساس دماسنجد کلینوپیروکسن [۲۰] بین ۹۳۶ °C تا ۱۰۰۴ °C به دست آمده است [۱۸]. از سوی دیگر استفاده از زمین دما-فشارسنجد دو اکسیدی ایلمنیت-مگنتیت [۲۱] و با استفاده از نرم افزار ILMAT [۲۱] گستره دمای بازترازمندی <sup>۱۰</sup> نسبتاً گستردگی (۴۵۰-۷۰۰ °C) را در شرایط فوگاسیته اکسیژن نسبتاً پایین (۱۹±۳fO<sub>2</sub>) نشان می‌دهد. این پذیرفته شده است که مگنتیت اولیه معمولاً در اثر واکنش درون اکسیدی <sup>۱۱</sup> به تعادل دوباره می‌رسد، به طوریکه اولواسپینل در محلول جامد مگنتیت-اولواسپینل، در دمای متوسط اکسیده شده و تیغه‌ها یا ذرات بروون‌رست ایلمنیت را در داخل و اطراف مگنتیت ایجاد می‌کند [۱۷ و ۱۶]. علاوه بر توزیع دوباره Fe و Ti بین فازهای

10 - Re-equilibration

11 - Intra oxide-reaction

اکسیدی هنگام سردشدن، تبادل Fe-Mg پسا ماقمایی<sup>۱۲</sup> نیز ترکیب اولیوین و کلینوبیروکسن را متأثر کرده و در نتیجه مقدار Mg در اکسیدهای Fe-Ti (به ویژه ایلمنیت) که با این فازهای سیلیکاتی احاطه شده‌اند، کاهش می‌یابد [۲۳]. به همین دلیل است که بلورهای سیلیکاته به ویژه اولیوین هم‌جوار با اکسیدهای Fe-Ti در توده قره آغاج از لحاظ مقدار Mg در حاشیه بلور نسبت به هسته آن غنی‌ترند (شکل ۴ ب) [۱۸].

وجود مجموعه کانی‌شناسی دو اکسیدی (Ilm+Mag) در اولترامافیکها در مقایسه با ایلمنیت به عنوان تنها اکسید Fe-Ti در سنگ‌های مافیک قره آغاج از جمله شواهدی است که می‌تواند در روشن شدن ارتباط بین این سنگ‌ها مفید باشد. اگر فرض کنیم سنگ‌های اولترامافیک و مافیک (میزبان) دارای ارتباط مستقیمی با یکدیگر و هم ماقما هستند، در این صورت تغییر از پاراژنر ایلمنیت در گابروها به مجموعه ایلمنیت و مگنتیت در اولترامافیکها بایستی توضیح داده شود. برخی از محققین [۹]، احتمالات ممکن را در این خصوص برای توده Labrieville کبک کانادا مورد بحث قرار داده و سازوکارهایی مثل: ۱) افزایش در نسبت  $fO_2$  در  $Fe/Ti$  نسبتاً ثابت، ۲) کاهش در  $fO_2$  در نسبت  $Fe/Ti$  تقریباً ثابت در طول تفریق و ۳) نتیجه واکنشهای مختلف که در آنها فازهایی مانند ایلمنیت، اورتوبیروکسن، کوارتز، و اولواسپینل در گیر هستند (بدون تغییر در  $fO_2$ ). چنانکه این محققین نیز اشاره کرده‌اند بلوری شدن ایلمنیت ( $Fe \approx Ti$ ) و پیروکسن ( $Fe \leq Ti$ ) به نظر می‌رسد منجر به کاهش نسبت  $Fe/Ti$  شود (تأثیر وارون) و کاهش  $fO_2$  در حالتی که  $Fe/Ti$  ثابت باشد، نیز می‌تواند بلوری شدن سیلیکاتهای غنی از Fe را در سنگ‌های FTP به جای بلوری شدن مگنتیت موجب شود. از طرف دیگر در توده قره آغاج به دلیل نبود کوارتز، اورتوبیروکسن، و مقدار اندکی ایلمنیت در گابروها، می‌توان گفت که احتمال سوم نیز صورت نگرفته است. علاوه بر موارد یاد شده، اگر معیار قضاؤت ترکیب ایلمنیت در سنگ‌های مختلف توده قره آغاج باشد، با توجه به مقدار بالاتر Mn و پایین‌تر Mg در ایلمنیت اولترامافیکها در مقایسه با گابروها (جدول ۱) به نظر می‌رسد که انواع FTP نسبت به سنگ میزبان اولیه‌تر (کمتر تفریق یافته) هستند. از این رو با توجه به شواهد ارائه شده ارتباط زنتیکی اولترامافیکها با سنگ میزبان گابرویی قابل قبول نیست.



شکل ۴ (الف) نمودار تغییرات عدد منیزیم اولیوین (Ol  $Mg \neq$ ) نسبت به عدد منیزیم اسپینل ( $Mg \neq$ ) برای سنگهای اولترامافیک غنی از آپاتیت (◆) و انواع فقیر از آپاتیت (●) (ب) نیمرخ تغییرات ترکیبی بلورهای اولیوین احاطه شده با اکسیدهای Fe-Ti بر اساس عدد منیزیم ( $Mg \neq$ ).

اگرچه حضور میانبارها و قطرکهای اکسید و سولفید در سنگهای FTP به صورت کلاسیک شاهدی بر عملکرد فرایند ناآمیختگی آبگونها تفسیر می‌شوند [۱۲]، با این وجود برخی این پدیده را ناشی از آرایش دوباره این فازها در زیر نقطه ذوب در نظر می‌گیرند [۱۳]. در هر صورت، وجود این میانبارها در فازهای سیلیکاته پیش بلوری شده (مثل اولیوین) در سنگهای اولترامافیک قره آجاج (شکل ۲ د و ۳ ب)، حداقل این موضوع را آشکار می‌سازد که ترکیبها غنی از Fe-Ti-P-S در سیستم ماقمایی اولیه حضور داشته‌اند.

وجود ایلمنیت در سنگهای FTP قره آجاج به عنوان فاز اکسیدی غالب و بلورهای مجرزا (شکل ۲ ب) می‌تواند به تنها ی نشان دهنده شرایط  $fO_2$  نسبتاً پایین باشد. به طور کلی علاوه بر مقدار Ti و شرایط  $fO_2$  مناسب، مقدار فسفر در ماقما نیز عامل مهمی برای کنترل پاراژنز اکسیدهای Fe-Ti است. مقدار بالای  $P_2O_5$  در ماقما می‌تواند بلوری شدن مگنتیت را در مقایسه با ایلمنیت محدود کند [۲۵ و ۲۶]. از سوی دیگر فسفر می‌تواند حلایت ترکیبها اکسیدی (Fe, Ti) را در سیلیکات مذاب کاهش داده و مانع از اشباع شدن مذاب باقیمانده از Fe و Ti شده و در نتیجه موجب تشکیل ذخایر با عیار بالا (به شکل لایه‌ای یا کپه‌ای) شود [۱۳ و ۲۶]، پدیده‌ای که در توده قره آجاج رخ نداده است.

#### برداشت

- با توجه به توزیع تقریباً همگن تیغه‌های برون‌رسن ایلمنیت در تیتانومگنتیت سنگهای FTP، برخلاف آنچه از مدل اکسایش - برون‌رسن [۱۶] استنباط می‌شود (آغاز اکسایش و برون‌رسنی از حاشیه بلور)، به نظر می‌رسد تفسیر Mucke [۲۷] از این پدیده قابل قبول تر است.

- ۲- بافت کانی‌سازی در توده قره آغاج به دو صورت پراکنده<sup>۱۳</sup> و مشبک<sup>۱۴</sup> بوده و نوع کپهای یا لایهای (ذخایر با عیار بالا) مشاهده نمی‌شود.
- ۳- بر پایه شواهد صحرایی، ژئوشیمیایی [۱۸]، و کانی‌شناسی (از جمله ترکیب ایلمنیت و پاراژنر متفاوت اکسیدهای Fe-Ti)، به نظر می‌رسد باید شرایط متفاوتی از بلوری شدن و تکامل ماغمایی برای توصیف تفاوت کانی‌شناسی و ترکیب شیمیایی سنگهای مافیک و اولترامافیک قره آغاج (مثل ماغمای مادر و شرایط  $fO_2$  متفاوت) در نظر گرفت، بدین معنی که این دو، گروه سنگی اصلی هم ماغما محسوب نمی‌شوند.
- ۴- بر اساس نوع کانی‌سازی در توده قره آغاج می‌توان به این نتیجه رسید که برای تشکیل کانسارهای با عیار بالای اکسید Fe-Ti، علاوه بر غنی شدگی ماغما از Fe و Ti، میزان  $P_2O_5$  در ماغما و شرایط مناسب  $fO_2$  (نسبتاً بالا) عملکرد سازوکارهای تمرکز دهنده‌ای مانند ناامیختگی آبگونهای پالایش فشاری، و در مواردی، دگرشكلي زير نقطه ذوب نيز ضروري است.
- ۵- کانسار تیتانیم-فسفات قره آغاج با توجه به مقدار  $TiO_2$  نسبتاً پایین (~۴-۹ Wt%), توزیع و تمرکز بخشی از Ti در ساختار تیتانومگنتیت (فاقد ارزش اقتصادی)، درجه آزادی پایین و متغیر کانه با ارزش (ایلمنیت نسل دوم)، تنابوب سنگهای غنی از آپاتیت با انواع فقیر از آپاتیت، در گروه کانسارهای کم‌عیار تیتانیم قرار گرفته و برای ادامه بررسی اکتشافی، توصیه نمی‌شود، با این وجود به دلیل حجم بالای ذخیره، ادامه تحقیقات با هدف بهینه‌سازی عملیات فرآوری می‌تواند راهگشا باشد.
- ۶- فراوانی ایلمنیت به شکل بلورهای مجزا، نسبت بالای ایلمنیت به مگنتیت، مقدار قابل توجه  $MgO$  در کل سنگ و اولیوین [۱۸]، نبود سنگهای نلسونیتی، آنورتوزیتی، فروگابرو، و فرودیوریت، همراهی سنگهای اولترامافیک غنی از آپاتیت و فقیر از آن و جایگیری دهها لایه و توده سیل مانند از سنگهای FTP در سنگ میزبان گابرویی بدون کانی‌سازی با همبری تیز و موازی، از جمله ویژگی‌های خاص توده نفوذی قره آغاج بوده و از این رو می‌توان این توده را به عنوان نوع جدیدی از سنگهای FTP معرفی کرد.

#### مراجع

- [1] Haghipour A., Aghanabati A., “Geological quadrangle map of Iran No. A3. Serow sheet, Series 1:250000”, Geological Survey of Iran (GSI), (1973) Tehran.

13- Disseminate

14- Net-texture

- [۲] کاوشگران، مهندسین مشاور، "گزارش پتانسیل یابی مواد معدنی در منطقه شمال‌غرب شهرستان ارومیه"، تهران (۱۳۷۱).
- [۳] کاوشگران، مهندسین مشاور، "گزارش طرح اکتشاف نیمه تفضیلی تیتان و فسفات در منطقه قره آغاج"، تهران (۱۳۷۵).
- [۴] کاوشگران، مهندسین مشاور، "گزارش مطالعه فرآوری تیتان و فسفات منطقه قره آغاج ارومیه (در مقیاس آزمایشگاهی)", تهران (۱۳۷۶).
- [۵] کاوشگران، مهندسین مشاور، "گزارش طرح اکتشاف تفضیلی تیتان قره آغاج ارومیه (فاز یک)", تهران (۱۳۷۷).
- [۶] علیپور اصل، م، "بررسی زمین‌شناسی اقتصادی و پترولوژی مجموعه آذرین مافیک و اولترامافیک ایلمنیت - آپاتیت‌دار شمال قره آغاج ارومیه"، پایان نامه کارشناسی ارشد، دانشگاه شهید بهشتی (۱۳۷۵) ۲۶۹ صفحه.
- [۷] امامعلی‌پور، مسعودی ج، عبداللهی شریف ج، "بررسی زمین‌شناسی اقتصادی و کانه‌آرایی مقدماتی کانسار ایلمنیت-آپاتیت قره آغاج ارومیه، سومین همایش انجمن زمین‌شناسی ایران (۱۳۷۸)
- [۸] رحیم سوری‌ی، "بررسی اکتشافی پتانسیل تیتانیم قره آغاج ارومیه"، پایان نامه کارشناسی ارشد، دانشگاه تربیت معلم تهران (۱۳۸۰) ۱۵۴ صفحه.
- [9] Owens B. E., Dymek R. F., "Fe-Ti-P-rich rocks and massif anorthosite: problems of interpretation illustrated from the Labreville and St-Urbain plutons, Quebec", Can Mineral 30 (1992) 163-190.
- [10] Kolker A., "Mineralogy and geochemistry of Fe-Ti oxide and apatite (nelsonite) deposits and evaluation of the liquid immiscibility hypothesis", Econ Geol 77 (1982) 1146-1158.
- [11] Morse S. A., "The differentiation of the Skaergaard intrusion. Discussion of Hunter and Sparks", (Contrib Min Petrol. 95:451-461), Contrib Min Petrol 104 (1990) 235
- [12] Force E. R., "Geology of titanium mineral deposit", Geological Society of America Special Paper 259 (1991) 112p
- [13] Duchesne J. C., "Fe-Ti deposits in Rogaland anorthosites (South Norway)", geochemical characteristics and problems of interpretation", Mineral Deposita 34 (1999) 182-198
- [14] Markl G., "REE constraints on fractionation processes of massive-type anorthosites on the Lofoten Islands, Norway", Mineral Petrol 72 (2001) 325-351.

- [15] Dymek H. F., Owens B. E., “*Petrogenesis of apatite-rich rocks (nelsonites and oxide-apatite gabbronorites) associated with massif anorthosites*”, Econ Geol 96 (2001) 797-815
- [16] Buddington A. F., Lindsley D. H., “*Iron-titanium oxide minerals and synthetic equivalents*”, J. petrol 5 (1964) 310-357
- [17] Haggerty S. E., “*Oxide textures: A mini-atlas. In: Lindsley DH (ed) Oxide Minerals: Petrologic and Magnetic Significance*”, Reviews in Mineralogy 25 (1991) 129-219
- [18] Mirmohammadi M., Kananian A., Tarkian M., “*The nature and origin of Fe-P-Ti-rich rocks in the Qareaghaj mafic-ultramafic intrusion, NW of Iran*”, Mineral Petrol, in press
- [19] Bishop F. C., “*The distribution of Fe<sup>2+</sup> and Mg between coexisting ilmenite and pyroxene with applications to geothermometry*”, Am J Sci 280 (1980) 46-77
- [20] Kretz R., “*Metamorphic Crystallization*”, John Wiley & Sons (1994) 507 pp
- [21] Andersen D. J., Lindsley D. H., “*New (and final!) models for the Ti-magnetite/ilmenite geothermometer and oxygen barometer*”, EOS 66 (1985) 416.
- [22] Lepage L. D., “*ILMAT: An Excel worksheet for ilmenite-magnetite geothermometry and geobarometry*”, Comp Geosci 29 (2003) 673-678
- [23] Frost B. R., Lindsley D. H., “*Equilibria among Fe-Ti oxides, pyroxenes, olivine and quartz: Part II. Application*”, Am Mineral 77 (1992) 1004-1020.
- [24] Toplis M. J., Dingwell D. B., Libourel G., “*The effect of phosphorus on the iron redox ratio, viscosity and density of an emodalved ferro-basalt*”, Contrib Mineral Petrol 117(1994) 293-304
- [25] Zhou M. F., Robinson P. T., Lesher M., Keays R. R., Zhang C. J., Malpas J., “*Geochemistry, petrogenesis and metallogenesis of the Panzhihua gabbroic layered intrusion and associated Fe-Ti-V oxide deposits, Sichuan province, SW China*”, J. petrol 46 (2005) 2253-2280
- [26] Kärkkäinen N. K., Appelqvist H., “*Genesis of a low-grade apatite-ilmenite-magnetite deposit in the Kauhajarvi gabbro, Western Finland*”, Mineral Deposita 34 (1999) 754-769.
- [27] Mücke A., Younessi R., “*Magnetite-apatite deposits (Kiruna-type) along the Sanandaj-Sirjan zone and in the Bafq area, Iran, associated with ultramafic and calcalkaline rocks and carbonatites*”, Mineral Petrol 50 (1994) 219-244.